

# Krefter og Respons i hiv

Ole

Vår 2025



I denne oppgaven ser vi på en flytende geometri i to dimensjoner. Vi regner først på kreftene fra en geometri i bevegelse til tillestående vann. Så regner vi på kreftene som mottas og reflekteres av en stillestående geometri. Vi undersøker resonans og repons i hiv.

## Del 1 - Geometri som beveger seg i fluid

Randverdi i 2D

Sirkel

## Del 2 - Krefter og respons i hiv

Randverdier

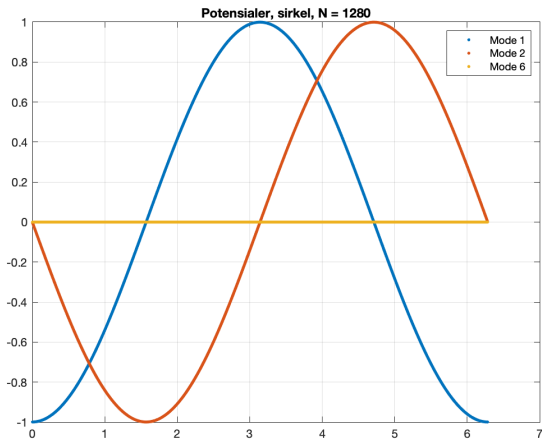
Diskretisering

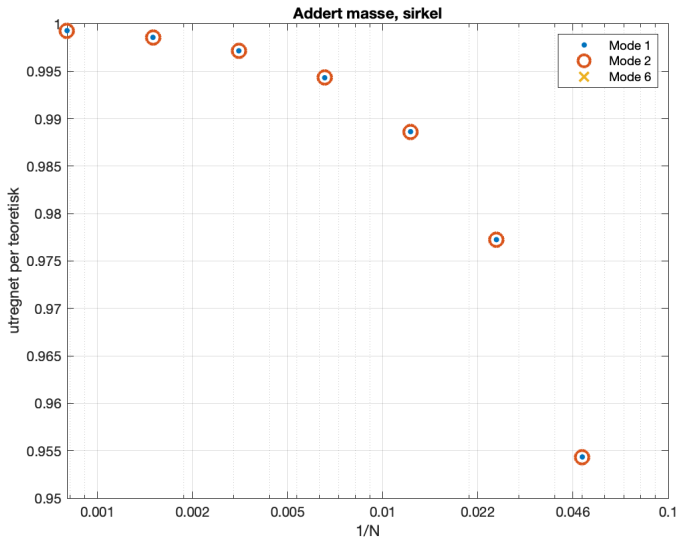
## Randverdi i 2D

Vi har en geometri som beveger seg med en fart  $U$  i et ubegrenset fluid. Bevegelsen i fjernfeltet er null. Løsningen på problemet finnes ved å løse integrallikningen:

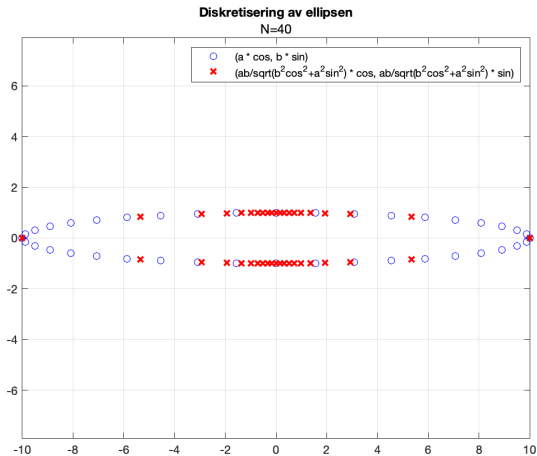
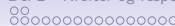
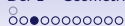
$$-\pi\phi(\bar{x}, \bar{y}) + \int_{S_B} \phi \frac{\partial}{\partial n} \ln r dS = \int_{S_B} \frac{\partial \phi}{\partial n} \ln r dS \quad (1)$$

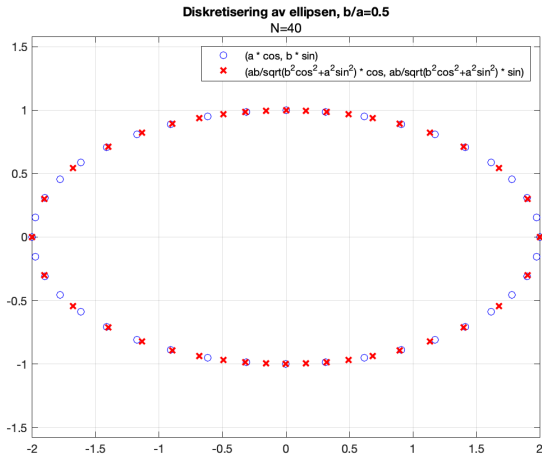
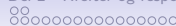
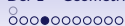
der  $\partial\phi/\partial n = n_1$  langs med  $S_B$ .

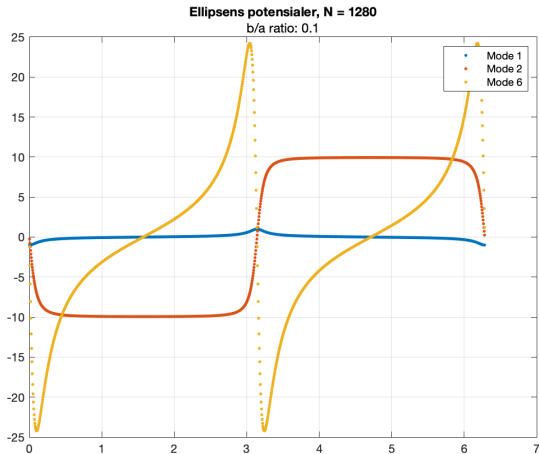




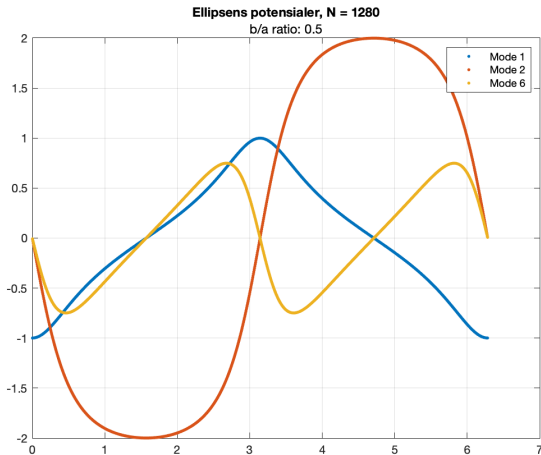
Allerede ved første diskretisering,  $N=20$ , så har vi over 95% samsvar mellom teoretisk og utregnet.

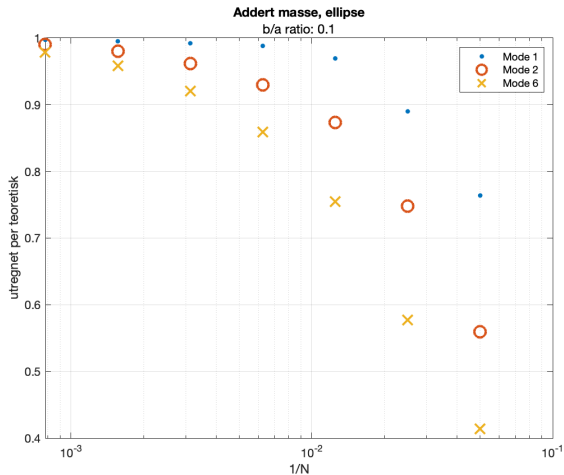




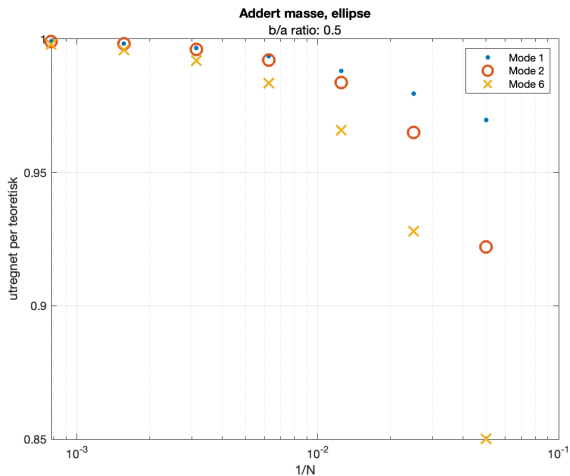


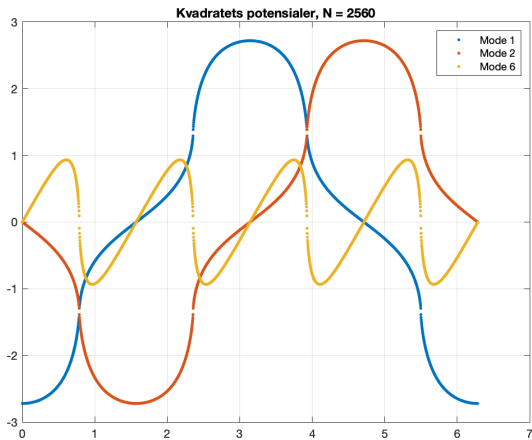


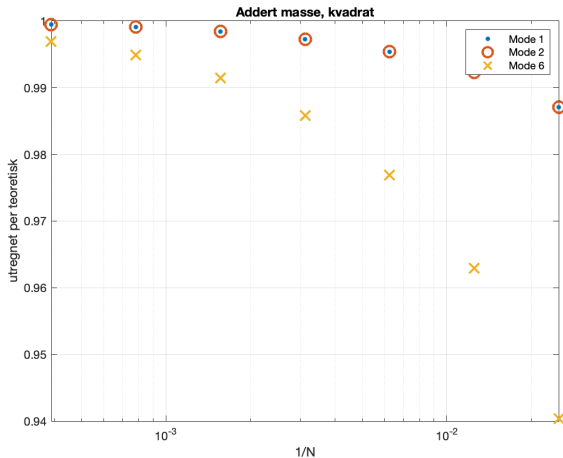




$N = 20, 40, 80, 160, 320, 640, 1280.$







$N = 40, 80, 160, 320, 640, 1280, 2560.$

Vi har sett på 3 geometrier: sirkel, ellipse, og kvadrat. Vi har sett at den utregnede adderte massen konvergerer mot den teoretiske, med ulik hastighet, når vi øker  $N$  diskretiseringspunkter. Det er fasongen på geometrien som avgjør responsen.

## Randverdiene for problemet

1. Kinematisk grensebetingelse
2. uendelig dyp.
3. innkompresibelt, uten virvling. Laplace.







Figure:  $L/D = 10$



Figure:  $L/D = 2$

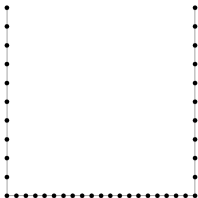


Figure:  $L/D = 1$

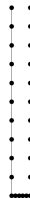
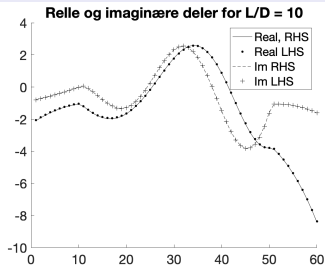
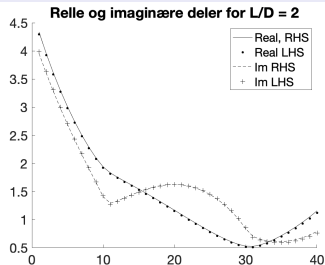
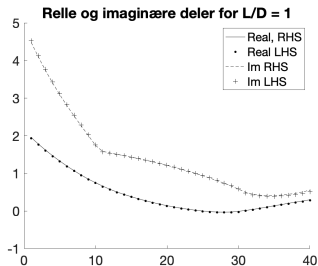
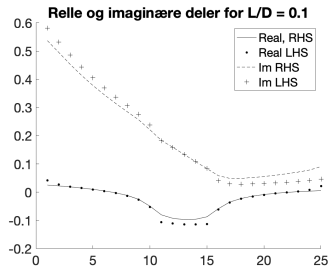


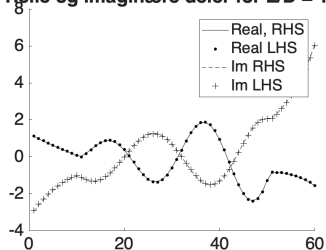
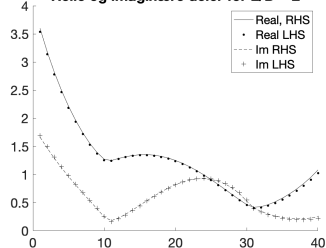
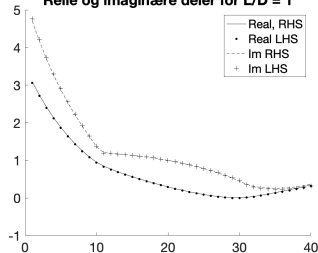
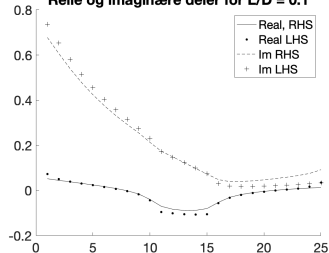
Figure:  $L/D = 0.1$

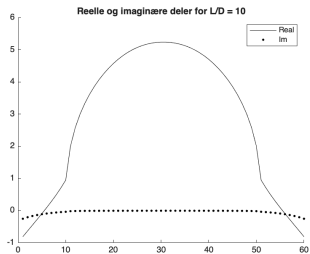
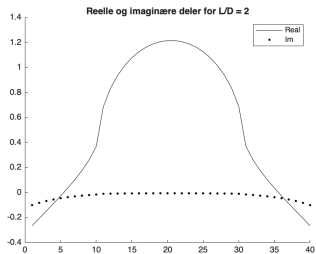
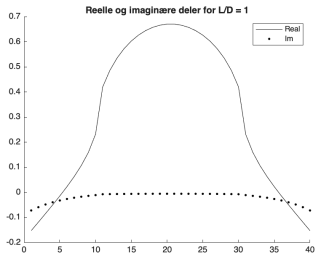
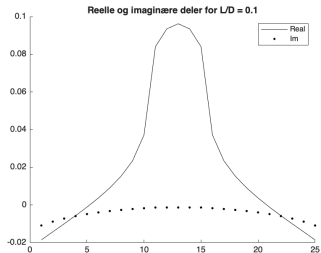
Vi ønsker å løse integrallikningen:

$$-\pi\phi_2 + \int_{S_B} \phi_2 \frac{\partial G}{\partial n} dS = \int_{S_B} G n_2 dS \quad (2)$$

Men før vi gjør det vil vi sjekke at likningen fungerer. Så vi løser høyre- og venstresiden av en integrallikning der vi kjenner alle variablene. Vi ønsker å se om den reelle delen til høyresiden tilsvarer den reelle delen til venstresiden, og tilsvarende for de imaginære delene.

Figure:  $L/D = 10$ Figure:  $L/D = 2$ Figure:  $L/D = 1$ Figure:  $L/D = 0.1$

**Reelle og imaginære deler for  $L/D = 10$** Figure:  $L/D = 10$ **Reelle og imaginære deler for  $L/D = 2$** Figure:  $L/D = 2$ **Reelle og imaginære deler for  $L/D = 1$** Figure:  $L/D = 1$ **Reelle og imaginære deler for  $L/D = 0.1$** Figure:  $L/D = 0.1$

Figure:  $L/D = 10$ Figure:  $L/D = 2$ Figure:  $L/D = 1$ Figure:  $L/D = 0.1$

Langt borte, når for  $\bar{x} \rightarrow \pm\infty$  har potensialet  $\phi_2$  denne formen

$$\phi_2(\bar{x}, \bar{y}) \rightarrow A_2^{-\infty} e^{K\bar{y} + iK\bar{x}}, \quad \bar{x} \rightarrow -\infty, \quad (3)$$

$$\phi_2(\bar{x}, \bar{y}) \rightarrow A_2^{\infty} e^{K\bar{y} - iK\bar{x}}, \quad \bar{x} \rightarrow \infty, \quad (4)$$

der  $K = \frac{\omega^2}{g}$

fra likningen for fluidet så kan vi finne  $A_2^{-\infty}$  og  $A_2^{\infty}$

$$2\pi\phi_2(\bar{x}, \bar{y}) = \int_{S_B} (\phi_2 \frac{\partial G}{\partial n} - G n_2) dS \quad (5)$$

oppførselen til  $\phi_j$  for  $\bar{x} \rightarrow \pm\infty$ ,

$$\phi_2 \rightarrow A_2^{\pm\infty} e^{K(\bar{y} \mp i\bar{x})}, \quad \bar{x} \rightarrow \pm\infty. \quad (6)$$

Der de komplekse konstantene  $A_2^{\pm\infty}$  finnes ved å ta integralet over svømmeflaten, som gir

$$A_2^{\pm\infty} = i \int_{S_B} \left( \phi_2 \left( n_1 \frac{\partial}{\partial x} + n_2 \frac{\partial}{\partial y} \right) - n_2 \right) e^{K(\bar{y} \pm i\bar{x})} dS \quad (7)$$

Den utgående bølgeamplituden har komplekse amplituder,

$$amp_2^\infty = \xi_2 A_j^\infty \frac{\omega^2}{g}, \quad \text{og} \quad amp_2^{-\infty} = \xi_2 A_j^{-\infty} \frac{\omega^2}{g}. \quad (8)$$

Gjennomsnittet av energifluksen til den utgående bølgen er gitt ved

$$\overline{\text{Energifluks}} = \bar{E}^\infty c_g + \bar{E}_j^{-\infty} c_g = \frac{1}{2} \rho g |amp_2|^\infty c_g + \frac{1}{2} \rho g |amp_2|^{-\infty} c_g, \quad (9)$$

der  $\bar{E}^{\pm\infty}$  er gjennomsnittlig energitetthet til utgående bølger og  $c_g = \frac{\partial \omega}{\partial K}$  er gruppehastigheten.

## Added mass and damping L/D

L/D = 10

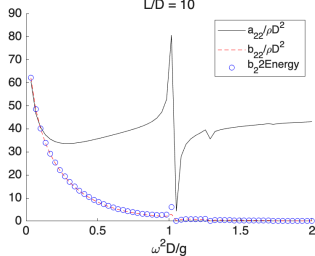


Figure: L/D = 10

## Added mass and damping L/D

L/D = 2

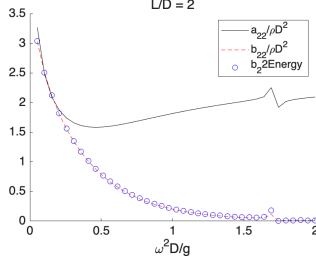


Figure: L/D = 2

## Added mass and damping L/D

L/D = 1

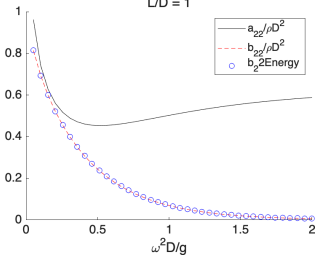


Figure: L/D = 1

## Added mass and damping L/D

L/D = 0.1

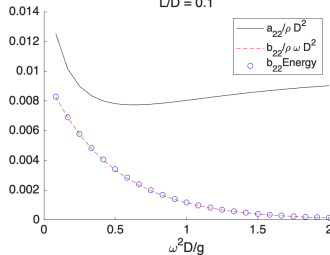


Figure: L/D = 0.1



Vi starter med utgangspunkt i følgende fra Froude-Krylov  
 approksimasjon for å estimere eksitasjonskraften

$$X_2^{FK} = -i\omega\rho \int_{S_B} \phi_0 n_2 dS = \rho g \int_{-L/2}^{L/2} e^{-KD-iKx} dx = \rho g L e^{-KD} \frac{\sin(KL/2)}{KL/2} \quad (10)$$

der  $D$  er dypgang og  $L$  er lengden. Som gir oss

$$X_2^{FK} = \rho g L e^{-KD}, \quad \text{fordi } \frac{\sin(KL/2)}{KL/2} \simeq 1, \frac{KL}{2} \ll 1 \quad (11)$$

vi har  $c_{22} = \rho g L$ . Fra Haskindrelasjonene finner vi  
 dempningskoeffisienten  $b_{22}$ ,

$$\frac{b_{22}}{\rho\omega} = \frac{|X_2|^2}{(\rho g)^2} \quad (12)$$

$$(13)$$

Vi finner så responsen i hiv.

$$(c_{22} - \omega^2(m_{22} + a_{22}) + i\omega b_{22})\xi_2 = A X_2 \quad (14)$$

$$\xi_2$$

$$\frac{g}{\omega} L e^{-KD}$$

I diffraksjonsproblemet holdes geometrien fast. Fluidets bevegelse er gitt ved hastighetspotensialet

$$\Phi_D(x, y, t) = \text{Re}\left(A\phi_D(x, y)e^{i\omega t}\right), \quad (17)$$

der  $A$  er amplituden og  $\phi_0$  potensialet til innkommende bølger.

Potensialet  $D$  finner vi fra  $\phi_D(x, y) = \phi_0(x, y) + \phi_7(x, y)$ .

$\phi_0(x, y) = \frac{ig}{\omega} e^{Ky - iKx}$ . Og  $K = \frac{\omega^2}{g}$ . Spredningen  $\phi_7$  er ukjent.

Integrallikningen vi bruker for å bestemme summen  $\phi_D = \phi_0 + \phi_7$  til et punkt  $(\bar{x}, \bar{y})$  på  $S_B$  er

$$-\pi\phi_D(\bar{x}, \bar{y}) + \int_{S_B} \phi_D \frac{\partial G}{\partial n} dS = -2\pi\phi_0(\bar{x}, \bar{y}) \quad (18)$$

Vi ønsker å finne påvirkningskraften numerisk.

$$\frac{X_2}{\rho g} = -\frac{i\omega}{g} \int_{S_B} \phi_D n_2 dS \quad (19)$$



Likning for bevegelsen, kun i hiv, er gitt ved

$$(-\omega^2(m + a_{22}) + i\omega b_{22} + c_{22})\xi_2 = AX_2, \quad (20)$$

$$\frac{|\xi_2|}{A} = \frac{X_2}{c_{22} - \omega^2(m + a_{22}) + i\omega b_{22}}, \quad (21)$$

der  $c_{22} = \rho g S$ . Svømmeflaten  $S$  i vårt todimensjonale tilfelle er lengden på geometrien.  $m$  er massen til geometrien, som for et fritt flytende legeme er lik oppdriftskraften. Den adderte massen blir  $a_{22} = \rho \nabla = \rho L D$ .  $b_{22}$  er

$$b_{22} = \frac{K}{4\rho g V_g} |X_2|^2. \quad (22)$$

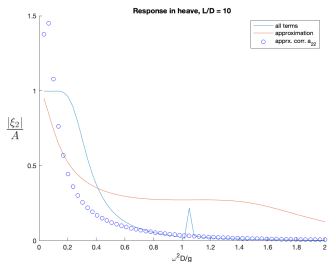
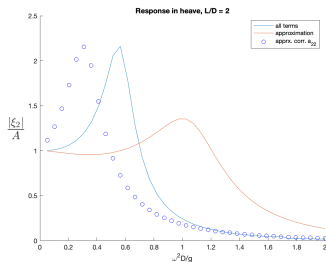
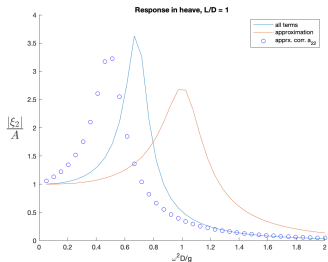
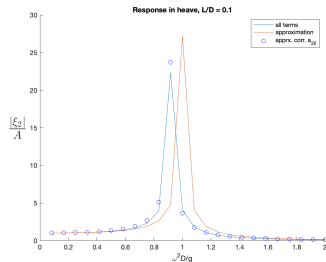
Resonansfrekvensen  $\omega_n$  oppstår der de hydrostatiske kreftene balanserer treghetskreftene,  $c_{22} - \omega^2(m + a_{22}) = 0$ .

Resonansfrekvensen for en fritt flytende todimensjonal rektangulær seksjon med bredde L og dypgang  $D=1$  blir,

$$\omega_n^2 = \frac{g}{D} \frac{1}{1 + \frac{a_{22}}{\rho D L}}, \quad (23)$$

Table: Resonansfrekvens

L/D	10	2	1	0.1
$a_{22}$	40	1.8	0.5	0.009
$\frac{\omega_n^2}{g}$	0.2	0.53	0.67	0.92

Figure:  $L/D = 10$ Figure:  $L/D = 2$ Figure:  $L/D = 1$ Figure:  $L/D = 0.1$

◀ ◻ ▶ ◀ ◻ ▶ ◀ ≡ ▶ ◀ ≡ ▶ ≡ ↺ 🔍 ↻